

Из (3.1), (3.3) следует, что в плоскости  $pV$  ( $V$  — удельный объем) уравнение адиабаты для изомагнитного скачка имеет вид

$$(3.4) \quad p_2 = p_1(V_1\eta - V_2)/(\eta V_2 - V_1) - 2m_H H(V_2 - V_1)/MV_1V_2 \times \\ \times (\eta V_2 - V_1), \quad \eta = (\gamma + 1)/(\gamma - 1).$$

Поток массы через поверхность разрыва, как и в газовой динамике, определяется формулой

$$m^2 = (p_2 - p_1)/(V_1 - V_2).$$

Из (3.4) следует, что адиабата в этом случае проходит через точку  $p_1V_1$ , имеет те же асимптоты, что и адиабата Гюгони и расположена при  $V_2 < V_1$  выше нее, при  $V_2 > V_1$  — ниже.

Автор выражает благодарность В. В. Гогосову за внимание к работе.

Поступила 22 VII 1975

#### ЛИТЕРАТУРА

1. Седов Л. И. Механика сплошной среды. Т.1. М., «Наука», 1973.
2. Гогосов В. В., Васильева Н. Л., Тактаров Н. Г., Шапошникова Г. А. Уравнения поляризуемой и намагничиваемой многокомпонентной и многофазной среды. Разрывные решения. Исследование разрывных решений со скачком магнитной проницаемости. Отчет Ин-та механики МГУ, 1975.
3. Вонсовский С. В. Магнетизм. М., «Наука», 1971.
4. Resler E., Sears W. The prospects of magnetoaerodynamics.— «J. Aero. Sci.», 1958, vol. 25, N 4.
5. Куликовский А. Г., Любимов Г. А. Магнитная гидродинамика. М., Физматгиз, 1962.

УДК 538.4

### УСИЛЕНИЕ ТОКА И УВЕЛИЧЕНИЕ ЭНЕРГИИ В ПЛОСКИХ МАГНИТНО-КУМУЛЯТИВНЫХ ГЕНЕРАТОРАХ С ДИФФУЗИЕЙ ПОТОКА

Е. И. Биченков

(Новосибирск)

1. Сжатие магнитного поля в проводящем контуре (магнитная кумуляция) приводит к увеличению тока и энергии магнитного поля. При этом могут быть сформулированы две задачи: 1) при заданном начальном токе  $I_0$  и индуктивности нагрузки  $L$  выбрать начальную индуктивность цепи  $L_0$  так, чтобы получить наибольший конечный ток  $I$ ; 2) при заданной начальной энергии  $U_0$  и заданной нагрузке  $L$  выбрать  $L_0$  так, чтобы получить наибольшую энергию  $U$  в конце.

Генераторы первого типа используются для получения максимальных магнитных полей и будут называться генераторами поля. Генераторы второго типа назовем генераторами энергии. Те и другие существенно отличаются начальными условиями: в генераторах поля начальный ток задан, энергия  $U_0 \sim L_0$ ; в генераторах энергии начальная энергия задана, а

$I_0 \sim L_0^{-1/2}$ . Генераторы поля характеризует коэффициент усиления тока

$$(1.1) \quad i = I/I_0 = (L_0/L)LI/L_0I_0 = \lambda\varphi,$$

где  $\lambda = L_0/L$  — коэффициент перестройки цепи;  $\varphi = LI/L_0I_0$  — доля магнитного потока, сохраняющегося в генераторе. Генераторы энергии характеризует коэффициент увеличения энергии

$$(1.2) \quad \varepsilon = LI^2/L_0I_0^2 = \lambda\varphi^2.$$

2. Существенной характеристикой генератора является величина  $\varphi$ , зависящая от конструкции генератора и в первую очередь от проводимости материала  $\sigma$  и времени сжатия поля. Кроме того, утечка потока в проводник зависит от начального распределения поля в стенках генератора, которое определяется временем накачки генератора от источника тока. В [1, 2] предложена схема расчета диффузионных потерь потока для плоских МК-генераторов и выведены уравнения, описывающие утечку потока в проводник при магнитной кумуляции в узких полостях. Для генераторов с шинами постоянной ширины удается показать, что к концу сжатия изменение потока выходит на универсальный автомоделный режим

$$(2.1) \quad \varphi = (1 + 2\sqrt{\pi/\mu}\sqrt{1-t} + (4/\mu)(1-t))\varphi_*,$$

определяемый единственной постоянной  $\varphi_*$ , зависящей от магнитного числа Рейнольдса  $\mu = 4\pi\sigma a^2 D/c^2 l_0$  и начального распределения поля в шинах. Здесь время отнесено ко времени сжатия потока  $l_0/D$ ;  $a$  — ширина полости генератора;  $l_0$  — начальная длина полости;  $D$  — скорость движения поршня, сжимающего поток. Проводимость  $\sigma$  и скорость  $D$  предполагаются постоянными. Численным счетом показано, что формула (2.1) удовлетворительно описывает утечку потока при  $1-t \leq 1/16$ , а величина  $\varphi_*$  слабо зависит от формы импульса тока накачки и определяется в основном толщиной скин-слоя  $s$ , создаваемого в стенках полости при запитке начальным током. Последнее обстоятельство позволяет выбрать начальное распределение поля  $B_0(x)$  в виде, удобном для вычислений, и получить явные формулы для  $\varphi_*$ . Так, для  $B_0 = e^{-x/s}$

$$(2.2) \quad \varphi_*(\mu, s) = \frac{2\mu s^3}{(2s-1)^3} B_*\left(\frac{1}{\mu s^2}\right) + \left( \left(1 - \frac{\mu}{8}\right) \frac{8s^2}{(2s-1)^2} - \frac{\mu s^2}{(2s-1)^3} - \frac{1+8/\mu}{2s-1} \right) B_*\left(\frac{4}{\mu}\right) + 4 \sqrt{\frac{\mu}{\pi}} \left( \frac{1}{\mu} \frac{1}{2s-1} - \frac{s^2}{(2s-1)^2} \right),$$

где толщина скин-слоя  $s$  отнесена к ширине щели  $a$ ;  $B_*(z) = e^z(1 - \Phi(\sqrt{z}))$ ;  $\Phi(\sqrt{z})$  — интеграл вероятности. Функция  $B_*(z^2)$  затабулирована в [3]. В случае быстрой накачки  $s \rightarrow 0$ ,  $\varphi_* \rightarrow \varphi_{*0} = (1 + 8/\mu)B_*(4/\mu) - 4/\sqrt{\pi\mu}$ , в случае медленной накачки  $s \rightarrow \infty$ ,  $\varphi_* \rightarrow \varphi_*^0 = \mu/4 - \sqrt{\mu/\pi} + 2(1 - \mu/8)B_*(4/\mu)$ , и формула (2.2) может быть переписана в виде

$$(2.3) \quad \varphi_*(\mu, s) = \frac{\varphi_{*0}}{1-2s} + \frac{4s^2}{(2s-1)^2} \varphi_*^0 + \frac{\mu s^2}{(2s-1)^3} \left( B_*\left(\frac{1}{\mu s^2}\right) - B_*\left(\frac{4}{\mu}\right) \right) - \frac{\mu s^2}{(2s-1)^2} \left( 1 - B_*\left(\frac{1}{\mu s^2}\right) \right),$$

откуда следуют асимптотические формулы

$$\varphi_*(\mu, s) = (1 + 2s)\varphi_{*0}, \quad s \ll \mu^{-1/2},$$

$$\varphi_*(\mu, s) = \varphi_*^0 - \frac{1 - \varphi_*^0}{s} + \frac{\varphi_*^0 - \varphi_{*0}}{2s}, \quad s \gg \mu^{-1/2}.$$

Для  $s = 1/2$  формулы (2.2), (2.3) имеют неопределенность, раскрыв которую, получим

$$\varphi_*(\mu, 1/2) = (1 - 64/3\mu^2)B_*(4/\mu) - (4/3)(1/\sqrt{\pi\mu})(1 - 8/\mu).$$

3. Рассматривая поток в момент времени  $t$ , можно получить для непрофилированного генератора поток в нагрузке, длина которой  $l = (1-t)l_0$ , т. е. прийти к решению задачи о работе такого генератора при коэффициенте перестройки

$$(3.1) \quad \lambda = 1/(1 - t).$$

Чтобы не привлекать машинного счета, примем, что  $\lambda \geq 16$ , и после подстановки (3.1) в (2.1) получаем поток в нагрузке, а затем в соответствии с (1.1), (1.2) вычисляем характеристики генераторов

$$(3.2) \quad i = (1 + 2\sqrt{\pi/m} + 4/m)\lambda\varphi_*;$$

$$(3.3) \quad \varepsilon = (1 + 2\sqrt{\pi/m} + 4/m)^2\lambda\varphi_*^2.$$

Здесь  $m = \lambda\mu$  — магнитное число Рейнольдса для нагрузки, представляющее собой отношение времени диффузии потока из нагрузки ко времени последнего удвоения тока в идеальном генераторе. Так как практический интерес представляют генераторы с большим  $\mu$  и  $\lambda \geq 16$ , то  $m \gg 1$  и (3.2), (3.3) сводятся к

$$(3.4) \quad i = m\varphi_*(m/\lambda, s)/(m/\lambda);$$

$$(3.5) \quad \varepsilon = m\varphi_*^2(m/\lambda, s)/(m/\lambda).$$

В настоящее время запитка МК-генераторов производится в основном от батареи конденсаторов, время накачки  $t_0$  равно четверти периода разряда батареи.

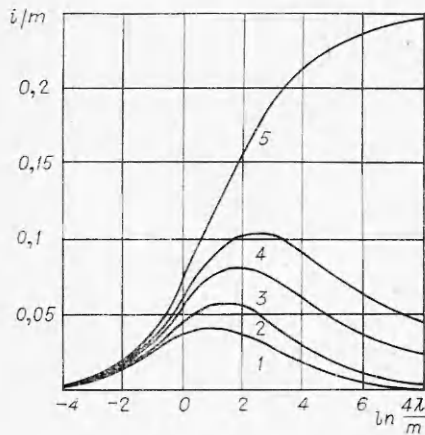
Скин-слой за время накачки возрастает пропорционально  $\sqrt{t_0}$ . Для генераторов энергии батарея фиксирована, а индуктивность цепи пропорциональна  $\lambda$ . При этом  $t_0 \sim \sqrt{\lambda}$ , и

$$(3.6) \quad s = \delta^4\sqrt{\lambda},$$

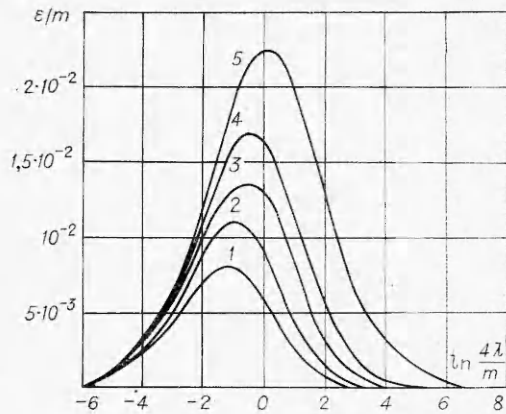
где  $\delta$  — толщина скин-слоя, нарастающего при прямом разряде батареи на нагрузку. Это же соотношение остается справедливым и для генераторов поля, если начальный ток поддерживается изменением напряжения батареи без изменения ее емкости.

Подставляя (2.2) в (3.4), (3.5) и учитывая (3.6), можно провести расчеты коэффициентов усиления тока и энергии при сжатии магнитного поля в непрофилированном генераторе. Результаты таких расчетов приведены на фиг. 1, 2 для  $\delta m^{1/4} = 0; 0,05; 0,5; 2; \infty$  — кривые 1—5 соответственно.

Видно, что коэффициент усиления тока сильно зависит от начального распределения поля и с ростом  $\lambda$  сначала возрастает, затем проходит максимум и очень медленно спадает. При медленной накачке  $i$  выходит на асимптоту  $i = m/4$ . Максимум  $i$  с ростом  $\delta m^{1/4}$  смещается в сторону больших  $\lambda/m$ , а величина его изменяется от  $4,2 \cdot 10^{-2}m$  до  $0,25m$ . Наименьшее



Ф и г. 1



Ф и г. 2

значение коэффициента перестройки, соответствующее максимуму  $i$  при быстрой накачке, равно  $0,7 m$ .

Если в генераторах поля напряжение батареи неизменно, то для поддержания начального тока необходимо увеличивать емкость батареи пропорционально  $\lambda$ . При этом  $t_0 \sim \lambda$  и  $s = \delta\sqrt{\lambda}$ , т. е. толщина скин-слоя оказывается намного больше, чем в случае фиксированной батареи, и при тех же величинах  $\delta$  ток возрастает до больших величин и еще медленнее спадает после прохождения максимума. Однако всегда  $i \leq m/4$ .

Коэффициент усиления по энергии  $\epsilon$  для всех  $\delta m^{1/4}$  имеет отчетливо выраженный максимум, расположенный в области  $0,3136 \leq 4\lambda/m \leq 4,1664$ , а величина этого максимума растет вместе с  $\delta m^{1/4}$  от  $8 \cdot 10^{-3} m$  до  $2,22 \cdot 10^{-2} m$ . Физически это понятно. При малых  $\lambda$  потери потока невелики, но значение  $\epsilon$  мало из-за малости  $\lambda$ . При больших  $\lambda$  время работы генератора велико, потери потока возрастают, а значение  $\epsilon$  падает.

В эксперименте довольно несложно получить  $m \sim 10^3$ ,  $\delta m^{1/4} \sim 0,1$ . Большие величины этих параметров получить трудно, так как это требует слишком маленьких нагрузок и очень большой низковольтной батареи. В этих условиях можно ожидать как максимум 12-кратного увеличения энергии батареи при  $\lambda=140$  и 70-кратного увеличения тока при  $\lambda=1300$ . Тем самым видно, что при магнитной кумуляции с плоским непрофилированным генератором нельзя рассчитывать на увеличение энергии более чем на порядок. Из (3.3) можно получить, что непрофилированный плоский генератор вряд ли энергетически выгоден при  $m < 30$  для медленной накачки и  $m < 80$  для быстрой. Детальные численные расчеты показывают, что в случае медленной накачки максимальные значения  $\epsilon$  равны 1,3 и 1,92 для  $m=8$  и 24 и достигаются при коэффициентах перестройки 1,6 и 8 соответственно.

4. Выведенное в [2] уравнение диффузионных потерь потока при магнитной кумуляции между шинами переменной ширины допускает аналитическое решение для случая, когда ширина шин  $z(y) = e^{\alpha y}$  ( $-1 \leq y \leq 0$ ), а длина нагрузки  $l = (1/\alpha)l_0$ . В этом случае приведенная индуктивность генератора  $L(t) = e^{-\alpha t}$ , а коэффициент перестройки  $\lambda = e^{\alpha}$ . Приемами, аналогичными описанным в [1], можно получить уравнение для магнитного поля в нагрузке

$$(4.1) \quad \frac{d^2 B}{dt^2} - \left( \frac{4}{\mu} + 2\alpha \right) \frac{dB}{dt} + \alpha^2 B = - \frac{2\alpha}{\sqrt{\pi\mu}} \frac{1}{\sqrt{t}} - \frac{2\alpha}{\mu} f_0(t) +$$

$$+ \frac{2}{\mu} f_0'(t) - \frac{8}{\mu \sqrt{\pi \mu}} \frac{d}{dt} \int_0^t \frac{f_0(\xi) d\xi}{\sqrt{t-\xi}},$$

$$f_0(t) = \frac{2}{\sqrt{\pi}} \int_0^\infty B_0' \left( \xi \frac{2\sqrt{t}}{\sqrt{\mu}} \right) e^{-\xi^2} d\xi,$$

которое решается при начальных условиях  $B(0)=1$ ,  $B'(0)=\alpha + (2/\mu)f_0'(0)$ . Коэффициент усиления тока в таком генераторе  $i = B(1)$ , а коэффициент увеличения энергии  $\varepsilon = (1/\lambda)i^2 = e^{-\alpha} B^2(1)$ . Решив (4.1), получим для быстрой накачки

$$(4.2) \quad i_0 = \frac{\sqrt{1+m}-1}{\sqrt{1+m}} \exp\left(\frac{(\sqrt{1+m}-1)^2}{m} \alpha\right) +$$

$$+ \frac{\sqrt{1+m}+1}{2\sqrt{1+m}} B_* \left(\frac{(\sqrt{1+m}+1)^2}{m} \alpha\right) + \frac{\sqrt{1+m}-1}{2\sqrt{1+m}} B_* \left(\frac{(\sqrt{1+m}-1)^2}{m} \alpha\right)$$

и для медленной накачки

$$(4.3) \quad i_0 = \frac{\sqrt{1+m}+1}{\sqrt{1+m}} \exp\left(\frac{(\sqrt{1+m}-1)^2}{m} \alpha\right) +$$

$$+ \frac{\sqrt{1+m}-1}{2\sqrt{1+m}} B_* \left(\frac{(\sqrt{1+m}+1)^2}{m} \alpha\right) - \frac{\sqrt{1+m}+1}{2\sqrt{1+m}} B_* \left(\frac{(\sqrt{1+m}-1)^2}{m} \alpha\right).$$

Здесь  $m = \alpha\mu$  — магнитное число Рейнольдса для нагрузки.

Видно, что профилирование существенно меняет характеристики работы генератора. При больших коэффициентах перестройки слагаемые, содержащие  $B_*$  в (4.2), (4.3), исчезают, и ток возрастает с ростом  $\lambda$  для любых  $m$

$$i_0 = \frac{\sqrt{1+m}-1}{\sqrt{1+m}} \lambda^{\frac{(\sqrt{1+m}-1)^2}{m}},$$

$$i_0 = \frac{\sqrt{1+m}+1}{\sqrt{1+m}} \lambda^{\frac{(\sqrt{1+m}-1)^2}{m}}, \quad \lambda \gg 1.$$

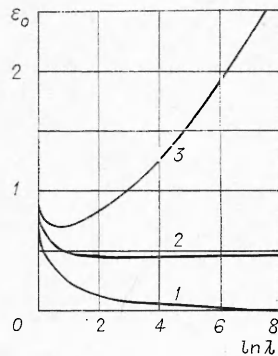
Коэффициент увеличения энергии при этом

$$\varepsilon_0 = \left(\frac{\sqrt{1+m}-1}{\sqrt{1+m}}\right)^2 \lambda^{\frac{2(\sqrt{1+m}-1)^2}{m} - 1},$$

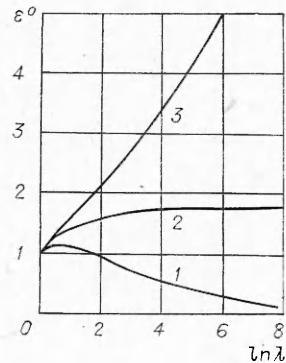
$$\varepsilon_0 = \left(\frac{\sqrt{1+m}+1}{\sqrt{1+m}}\right)^2 \lambda^{\frac{2(\sqrt{1+m}-1)^2}{m} - 1}, \quad \lambda \gg 1$$

и существенно зависит от нагрузки. Если  $m < 8$ ,  $\varepsilon$  уменьшается с ростом  $\lambda$ . Если  $m > 8$ ,  $\varepsilon$  растет с  $\lambda$ . Если  $m = 8$ , то  $\varepsilon$  асимптотически выходит на постоянную, равную  $4/9$  в случае быстрой накачки,  $16/9$  — в случае медленной.

На фиг. 3 приведены результаты расчета коэффициента увеличения энергии при быстрой накачке профилированного генератора для  $m = 3$ ; 8; 15 — кривые 1—3. Расчеты для медленной накачки для тех же значений  $m$  приведены на фиг. 4. С ростом  $m$  коэффициенты  $i$  и  $\varepsilon$  сильно воз-



Ф и г. 3



Ф и г. 4

растают и для  $m \gg 1$   $i \rightarrow \lambda$ ,  $\varepsilon \rightarrow \lambda$ , как и должно быть для генераторов без потерь потока.

Таким образом, профилирование позволяет существенно уменьшить диффузионные потери потока и значительно повысить эффективность МК-генератора. Происходит это по двум причинам: во-первых, за счет профилирования та же перестройка цепи происходит при меньшей длине генератора, что уменьшает время работы и тем самым снижает потери потока, во-вторых, поле в профилированном генераторе неоднородно: оно велико в зоне смыкания шин и мало в остальной части генератора. Из-за такого распределения поля потерями потока в широкой части генератора и в нагрузке можно пренебрегать в течение почти всего времени сжатия потока, учитывая их лишь в небольшой зоне вблизи места смыкания шин, и в течение короткого времени, необходимого для сжатия поля в этой зоне. Понятно, что требования к качеству контакта в профилированном генераторе сильно возрастают, так как даже небольшие неровности на шинах приведут к захвату сильного поля и к большим контактным потерям потока.

Поступила 4 IX 1975

#### ЛИТЕРАТУРА

1. Биченков Е. И., Маточкин Е. П. Диффузия потока при магнитной кумуляции в узких полостях.— ПМТФ, 1974, № 4.
2. Биченков Е. И., Маточкин Е. П. Диффузия потока при сжатии магнитного поля шинами переменной ширины.— ПМТФ, 1974, № 6.
3. Фаддеева Е. Н., Терентьев Н. М. Таблицы значений интеграла вероятностей от комплексного аргумента. М., ГИТТЛ, 1954.